北斗短报文通信终端本地钟差对发射频率 的影响及纠正措施

李龙1,马晓铮2

1. 中国电子科技集团公司第五十四研究所,河北石家庄 050000

2. 信息支援部队某部,河北石家庄 050000

DOI:10.61369/EPTSM.2025050003

摘 北斗短报文终端大多使用温补晶振作为频率基准,由于钟漂效应,温补晶振的中心频率会随时间产生偏移,可能影响

到设备的正常使用。本文针对北斗短报文通信终端的常规架构,定量分析了钟差对终端发射频率的影响,,并从工程

应用的角度设计了两种钟差测量的方法,同时给出了钟差补偿策略。

北斗短报文通信; 钟差; 发射频率

Influence of Local Clock Difference of Beidou Short Message Communication Terminal on Transmission Frequency and Correction Measures

Li Long¹, Ma Xiaozheng²

1.The 54th Research Institute of China Electronics Technology Group Corporation, Shijiazhuang, Hebei 050000 2.A Unit of Information Support Force, Shijiazhuang, Hebei 050000

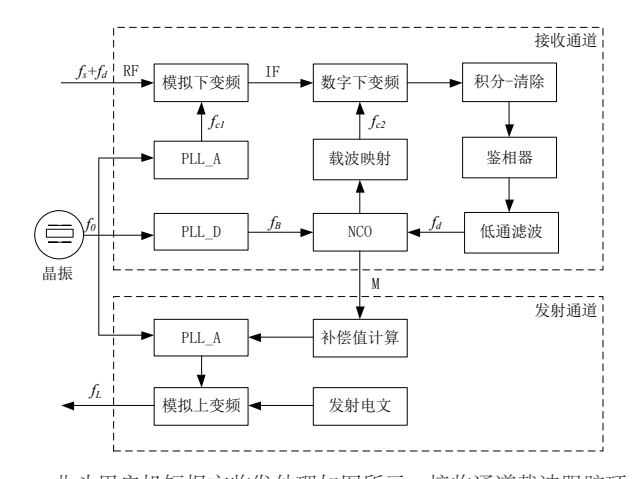
Abstract: Most of the BD-3 RSMC terminals use temperature-compensated crystal oscillators(TCXO) as the frequency reference. Due to the clock drift effect, the output frequency of the temperaturecompensated crystal oscillator may shift over time, which may affect the normal operation of the equipment in severe cases. This paper quantitatively analyzes the impact of clock difference on the transmission frequency based on the conventional RSMC terminals, and designs two methods for clock difference measurement from the perspective of engineering application, A compensation strategy based on software solution is designed to calibrate the transmission signal frequency. The actual test results have proven the effectiveness of the strategy.

Beidou short message communication; clock difference; transmission frequency

-、背景

北斗短报文通信功能是北斗三号系统的特色功能,通过北斗 地面主控站的信息转发,任意两个北三用户机可以实现全天候的 短报文互传。地面主控站时短报文通信信息处理的核心, 用户机 发射的 L 频段入站信号首先经卫星转发至地面主控站, 主控站大 系统解析入站信号后再将其通过卫星转发至对端用户机。由于多 普勒效应的影响,用户机发射的入站信号会发生频率偏移,主控 站大系统对频率偏移的适应范围有限,因此要求用户机在发射时 进行多普勒补偿, 使得到达地面系统的信号频偏处于规定的范围 内。除了多普勒效应,用户机的钟差也会影响发射频率,且由于 成本、体积限制,用户机时钟源大多选用温补晶振。由于钟漂效 应,温补晶振的中心频率会随时间产生偏移。假如不考虑晶振频 偏的影响, 入站信号的发射频偏将随时间增大, 严重情况下会达 到地面系统无法解析的程度,导致通信失败。本文针对北斗用户 机常规架构,分析了钟差对发射频率的影响,结合使用场景,给 出了不同的用户机类型的钟差估计方法。

二、工作原理



北斗用户机短报文收发处理如图所示,接收通道载波跟踪环 路采用数字锁相环实现,进入数字锁相环的是经过一次下变频的 中频信号,与本地 DDS 产生的二级载波混频后,混频结果通过后 端的鉴相器、滤波器等电路得到反馈信息,用于实时调整本地载 波的相位信息,从而实现信号的跟踪。载波环路完成锁定后,本地载波频率与中频信号频率基本一致。[1]

整个信号处理过程中,晶振为设备提供频率基准,各级载波也是由晶振频率变频而来。载波的频率准确度因此取决于晶振的频率准确度。由于成本限制,北斗短报文终端大多采用温补晶振(TCXO)作频率基准。温补晶振内置温度补偿电路,可在一定的温度范围内补偿温度对晶体振荡频率的影响。但晶振内部晶体材料和电子元件随时间发生老化,导致其性能发生变化,会导致输出频率出现漂移,一般情况下,老化导致的漂移会随时间积累,导致输出频率朝特定方向不断漂移。记晶振的标称频率为 f_o ,由于晶振漂移,晶振实际输出频率记为 f_o' ,晶振频偏通常用 ppm 为单位,

$$f_{ppm} = \frac{f_0' - f_0}{f_0} (? 10^6)$$
 1

接收通道采用二级下变频的方案,卫星下行信号频率为 f_s ,两级载波频率记为 f_{cl} 和 f_{c2} ,两,则有 $f_s = f_{cl} + f_{c2}$,由于晶振频偏的存在,两级载波的实际频率 f_{cl} 和 f_{c2} 均与设计值有所偏离,其中:

$$f_{cl}' = f_{cl}(l + f_{nmm})$$
 2)

$$f_{c2}' = f_{c2}(I + f_{ppm}) \tag{3}$$

$$f_{cI}' + f_{c2}' = f_s(I + f_{nnm})$$
 4)

北斗短报文终端实际接收到的卫星信号频率记为 f_R ,则 $f_R=f_s+f_d$,其中, f_s 为卫星信号的标称频率,该频率值为 2.4GHz 左右。 f_d 为北斗短报文终端终端与卫星相对运动产生的多普勒频率, $f_d=\frac{v}{l}=\frac{v}{c}f_s$,v表示终端与卫星的径向速率, λ 表示卫星信号载波波长,c表示光速,当终端朝向卫星运动时,多普勒频率为正,当终端背离卫星运动时,多普勒频率为负。[2]

由图1可知,经过两级下变频处理后,卫星信号的载波被完全 剥离,只剩下多普勒频率,因此输出信号经低通滤波后,其频率 理论上应等于多普勒频率。然而,由于钟偏的存在,实际输出的 信号频率 Δf 除了包含多普勒频率外,还额外引入了部分误差,该 误差等于卫星信号载波频率与钟差的乘积,即:

$$Df = f_R - (f'_{c1} + f'_{c2}) = f_d - f_s f_{ppm}$$
 5

载波跟踪环路使用带反馈的数字控制振荡器(NCO)用于本地二级载波生成和信号跟踪,两级下变频后的信号经过鉴相处理和低通滤波后形成反馈信号,实现 NCO 频率控制字 M 的调整,以实现本地载波信号与输入卫星信号的同步。数字控制振荡器(NCO)的基准频率 f_B 由晶振输出信号经锁相环生成,累加器位数为 N。对于 NCO 频率控制字 M 初始值,由以下公式确定

$$f_{c2} = f_B \frac{M}{2^N}$$
 6)

受晶振频偏影响,实际基准频率 $f_B^{'}=f_B$ ($I+f_{ppm}$) ,NCO 的实际控制字 M' 与 Δf 的关系为:

$$\Delta f = f'_B \frac{M' - M}{2^N} \tag{7}$$

不考虑钟漂的情况下, NCO 进行多普勒频率估计依然按照标

称频率 f_B 进行计算:

$$f'd = f_B \frac{M' - M}{2^N} = \frac{f_d - f_s f_{ppm}}{1 + f_{ppm}}$$
 8)

终端发射的多普勒补偿公式为:

$$f'_L = f_L - \frac{f_d}{K} \tag{9}$$

其中, K 为发射频率与接收频率的比例因子, $K = \frac{f_s}{f_s}$

$$f'_{L} = f_{L} (1 + f_{ppm}) - \frac{f'_{d}}{K} = f_{L} - \frac{f_{d}}{K} + 2f_{L}f_{ppm}$$
 10)

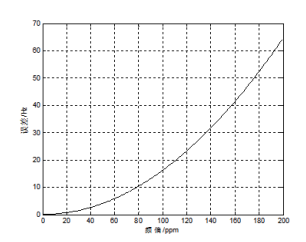
$$f'_{L} = f_{L} \left(1 + f_{ppm} \right) - \frac{f_{d} - f_{s} f_{ppm}}{K \left(1 + f_{ppm} \right)} = f_{L} \left(1 + f_{ppm} + \frac{f_{ppm}}{1 + f_{ppm}} \right) - \frac{f_{d}}{K \left(1 + f_{ppm} \right)}$$
11)

一般情况下,常规温补晶振的初始频偏在1ppm 左右,每年偏移在1ppm 左右, f_{ppm} 的值较小, $1+f_{ppm}\approx 1$,上式可简化为:

$$f_d' \approx f_d - f_s f_{ppm}$$

$$f_L^{'} \approx f_L - \frac{f_d}{K} + 2f_L f_{ppm}$$

上述等式简化会带来一定的估计偏差,通过绘制偏差曲线,可以看出估计偏差随着频偏增加而增加,但误差值并不算大,在频偏高达200ppm时,频偏估计误差值还不到70Hz。一般情况下,频偏在20ppm以下,此时频率误差还不到1Hz,因此等式简化带来的估计偏差可以忽略不计。



由上式,受接收机钟差的影响,实际发射频率 f_L 与理论值为 $(f_L - \frac{f_d}{K})$ 存在偏差,该偏差等于发射载波与频偏乘积的2倍。本质上,该偏差为钟差导致的多普勒估计偏差和发射载波偏差的叠加,折算到发射频段便会产生2倍频偏的效果。

钟差	1ppm	2ppm	Зррт	4ppm	5ррт
发射频偏 Hz	3200	6400	9600	12800	16000

一般来说,北斗卫星对于发射频偏的适应范围有效,按照 + 12kHz 计算,假如对接收机钟差不做处理,当钟差超过6ppm 时,发射频偏就会超出卫星的适应能力,导致无法正常解析入站数据,引发通信失败。例如对于出厂频偏1ppm,钟漂1ppm/年的接收机,最短5年后钟差就可能达到3ppm 以上。

为了保证接收机的长期可用性,应定期对测量钟差并在入站 发射时依据钟差值进行频率校正,以保证发射频率的准确度。

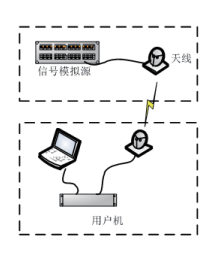
三、钟差的估计方法

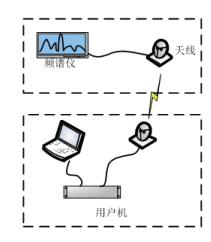
对于钟差的估计方式,最直接的方法就是使用频谱仪测量晶振的输出频率,但晶振一般位于设备内部基带板卡,不拆解设备

的情况下不易测量。在不进行设备拆解的情况下,可以可以通过 接收通道或者发射通道进行钟差测量。本文设计了两种方法实现 整机状态下的钟差测量。[3]

四、接收通道测量法

接收通道锁定信号后,多普勒估计值中含有钟差信息,根据 该信息,产品与信号源相对静止的情况下, f_a 为0,多普勒估计 值仅包含钟差导致的频偏信息,利用多普勒估计值就可以计算出 钟差。[4]





$$f_{ppm} \approx -\frac{f_d^{'}}{f_s}$$

接收诵道测量法的

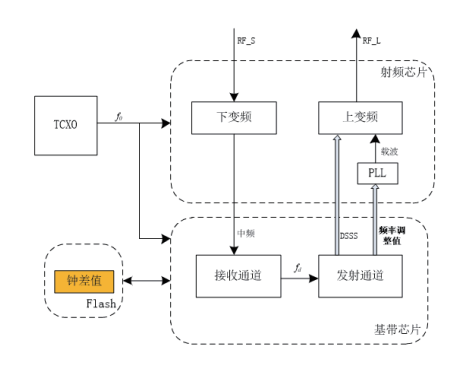
五、发射通道测量法

北斗短报文终端与卫星/信号源相对静止的情况下, f_a 为0, 可以通过频频仪等仪器测量发射信号频率,从而计算出钟差。

$$f_{ppm} \approx \frac{f_{L}^{'} - f_{L}}{2f_{L}}$$

以上两种测试方法不需要直接测量晶振频率。特别适合已交 装产品的定期维护和外场标校。

六、钟差的补偿方法



北斗短报文终端的典型硬件组成如图所示,完成钟差估计 后,钟差值存储于本地存储芯片(Flash/EMMC)中,发射通道 利用接收通道输出的多普勒估计值 f_a 和 Flash 中存储的钟差值 fmm 计算发射频率调整值,从而实现发射频率的多普勒补偿。具 体计算公式如下:

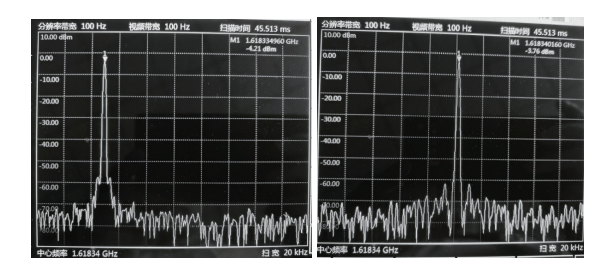
$$f_{L}^{'} = f_{L} - \frac{f_{d}^{'}}{K} - 2f_{L}f_{ppm}$$

 $f_L^{'}=f_L-rac{f_d^{'}}{K}-2f_Lf_{ppm}$ 公式成立的前提是接收通道已完成信号锁定并且计算出 多普勒估计值 f'_a , 此外, 还存在一种特殊情况是接收通道未完成 锁定,接收通道不生产多普勒估计值,因此钟差带来的频偏仅影 响了发射通道的载波频率, 钟差带来的发射频偏接近接收通道锁 定的情况下的二分之一, 因此接收通道未锁定情况下, 发射频率 的补偿公式为:

$$f_L^{'} = f_L - f_L f_{nnm}$$

七、钟差补偿实测效果

试验选用了一块典型的北三基带板卡,板卡上的基准源为 10MHz 国产温补晶振,经过3年的使用,板级晶振输出频率已出 现明显的漂移, 在不进行钟差补偿的情况下, 输出1.6G 单载波频 偏约为4.5kHz, 折合2.8ppm。当使用该频偏值进行频率校正后, 输出频偏约160Hz,验证了频偏补偿策略的有效性。



八、总结

本文分析了钟差对于北斗短报文终端发射频率的影响,结果 表明不考虑钟差的情况下,发射频率会出现较大的频偏,随着时 间的推移, 很可能导致通信功能受到到影响。根据设备的工作特 点,给出了两种整机状态下的钟差标定方法并给出了发射补偿措 施,该方法通过软件实现,无需进行产品硬件的更改,具有较高 的工程价值,实测结果表明了频偏估计和补偿措施的有效性。

参考文献

[1] 张静,杨志强,梁桂海,北斗 RDSS 入站接收机测量方法研究 [J]. 计量科学与技术,2023,67 (2):18-23.

[2] 金耀、张贺、王泽林等、北斗短报文发展与应用[]] 邮电设计技术、2024(3):53-57.

[3] 唐斌,北斗区域短报文服务解析与试验验证,第十四届中国卫星导航年会论文集-S07卫星导航用户终端,2023.

[4] 韩艳菊,杨科,郑鸿耀,改进的模拟温补晶振宽温补偿方法[J]. 北京航空航天大学学报,2015,41(12):2250-2255.